

## طراحی مسیر بهینه یک بازوی مکانیکی ماهر با پایه متحرک برای عبور از میان موانع فضایی

مصطفی غور<sup>۱\*</sup>، مصطفی شریعتی نیا<sup>۲</sup>

\* نویسنده مسئول: ghayour@cc.iut.ac.ir

### واژه‌های کلیدی

ربات پایه متحرک، بهینه‌سازی، طراحی مسیر،  
بازوی مکانیکی ماهر، الگوریتم ژنتیک.

### چکیده

در این تحقیق روشی برای طراحی مسیر یک سیستم ربات پایه متحرک فضایی شامل پایه غیرهلونومیک و بازوی سه عضوی در حضور موانع ثابت و متحرک ارائه شده است. در اینجا از توابع پیوسته و هموار مانند توابع چندجمله‌ای به منظور مسیریابی ربات استفاده شده است. روش ارائه شده شامل به دست آوردن تاریخچه زمانی حرکت محرك‌های ربات می‌شود که تحت رفتار این محرك‌ها، ربات به پیکربندی نهایی خود می‌رسد. پایه به کار رفته در این تحقیق، پایه با رانش دیفرانسیلی است که از انواع پرکاربرد پایه‌های است. بازوی مکانیکی واقع بر پایه نیز بازوی سه درجه آزادی فضایی است. ترکیب بازو و پایه باعث می‌شود که ربات در فضای کاری وسیع تری عمل کند. هر چند بررسی این نوع سیستم‌ها شامل بررسی مسئله به نام افزونگی درجات آزادی می‌شود که به پیچیدگی مسئله می‌افزاید، ولی افزونگی درجات آزادی در ربات، قابلیت‌های ویژه‌ای از نظر کاربردی برای آنها ایجاد می‌کند. در ربات‌های دارای افزونگی درجات آزادی در یک فضای کاری مشخص، مسیرهای متعددی برای ربات وجود دارد. یک راه برای انتخاب یک مسیر مناسب از بین مسیرهای ممکن، انتخاب یک اندیس مناسب و بهینه کردن آن است. نتایج عددی و نمودارها جهت طراحی مسیر بهینه برای یک مجموعه ربات پایه متحرک در حضور موانع با استفاده از روش الگوریتم ژنتیک آورده شده است. موانع به کار رفته در مسئله نیز فضایی بوده و موانع ثابت و متحرک را شامل می‌شود.

۱- استاد، دانشکده مهندسی مکانیک، دانشگاه صنعتی اصفهان.

۲- دانشجوی دکتری مکانیک، دانشکده مهندسی، دانشگاه کاشان.

## ۱- مقدمه

در میان مباحث مختلف مرتبط با ربات‌های پایه متحرک، مسیریابی ربات از اهمیت خاصی برخوردار است. هدف از این مبحث یافتن مسیری است که ربات از نقطه شروع تا نقطه پایان می‌پیماید. با توجه به کاربردهای ربات‌های متحرک در صنعت، یافتن مسیر بدون برخورد با موائع اهمیت ویژه‌ای پیدا می‌کند. عدم برخورد با موائع بدون شک مسئله مهمی در طراحی مسیر ربات‌های پایه متحرک است، اما اگر بتوان مسئله طراحی مسیر را با در نظر گرفتن یک معیار بهینه حل کرد، بازده بیشتری دارد. معیار بهینه سازی با توجه به نوع مسئله تعریف می‌شود؛ یافتن کوتاه ترین مسیر ممکن، طی مسیر در کوتاه ترین زمان ممکن، به دست آوردن مسیری که توسط ربات با حداقل سرعت ممکن پیموده شود و یا به دست آوردن مسیر به طوری که مجموع گشتاورهای وارد به پایه متحرک و عضوها حداقل شود، نمونه‌هایی از معیارهای مختلف بهینه سازی است.

روش‌های مسیریابی ربات‌های پایه متحرک را می‌توان به دو دسته کلی روشهای خارج خط<sup>۴</sup> و برخط<sup>۵</sup> تقسیم نمود. در روشن اول فرض بر آن است که شکل و موقعیت هندسی موائع موجود در محیط حرکت ربات مشخص است، در حالی که در روشن مسیریابی بر خط هیچ گونه اطلاعاتی در مورد وضعیت محیط، شکل و موقعیت هندسی موائع در دسترس نیست، بلکه ربات با استفاده از اطلاعات به دست آمده از سنسورها موقعیت موائع اطراف خود را به صورت لحظه‌ای شناسایی می‌کند.

در زمینه طراحی مسیر بازوی مکانیکی ماهر و ربات‌های پایه متحرک کارهای زیادی انجام شده که به برخی از آنها اشاره می‌شود. در اغلب این مطالعات هدف به دست آوردن مسیری بوده است که ربات بتواند در محیطی بدون مانع، و یا در محیطی همراه با مانع موجود در مسیر، بدون برخورد با موائع از نقطه شروع به نقطه هدف برسد.

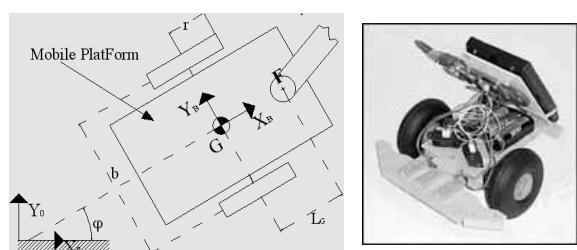
گارلیکی و همکارانش طراحی مسیر بهینه بدون برخورد را برای بازوی ماهر با افزونگی درجات آزادی ارائه دادند. آنها با محدود کردن حرکت بازوی، قیدی سینماتیکی به مسئله

ربات‌ها در صنعت به منظور جایگزینی نیروی انسانی در کارهای تکراری و خطرناک به طور گسترده‌ای مورد استفاده قرار می‌گیرند. بازوی مکانیکی ماهر از انواع متدالو رباتها هستند. امروزه با به وجود آمدن نیازهای جدید در صنایع فضایی و هسته‌ای و همچنین نیاز به کار در محیط‌های خطرناک برای انسان و انجام کارهای سنگین و تکراری از قبیل اکتشاف، کار در معادن، مین روی، اطفای حریق در جنگلها، پاکسازی محیط‌های آلوده بر اثر انفجارات شیمیایی یا هسته‌ای و کارهایی که نیاز به سرعت و دقت خاصی دارند، ربات‌های با پایه متحرک مورد توجه قرار گرفته‌اند. این دسته از ربات‌ها به بازوی مسیریابی پایه متحرک مشهور شده‌اند.

تعریف عام برای بازوی پایه متحرک عبارت است از بازویی که بر روی یک پایه متحرک<sup>۱</sup> نصب شده است. تواناییهای بازوی پایه متحرک در جایی اهمیت خود را نشان می‌دهد که مهارت بازوی ربات و بزرگی فضای کاری<sup>۲</sup> هر دو مورد نیاز باشد.

بخش بزرگی از ربات‌های پایه متحرک را ربات‌های چرخدار تشکیل می‌دهند که در این مقاله به آن پرداخته می‌شود. مطالعات انجام گرفته روی ربات‌های چرخدار شامل مباحث طراحی مسیر، عدم برخورد با موائع و هدایت پایه می‌باشد.

یکی از پرکاربردترین پایه‌های مورد استفاده در ربات‌های چرخدار پایه بارانش دیفرانسیلی<sup>۳</sup> است. مطابق شکل (۱) این نوع پایه دارای دو چرخ در دو طرف پایه بوده که هر چرخ به طور مستقل از دیگری می‌تواند چرخش کند و در نتیجه پایه دارای دو درجه آزادی است.



شکل (۱) پایه بارانش دیفرانسیلی [۸].

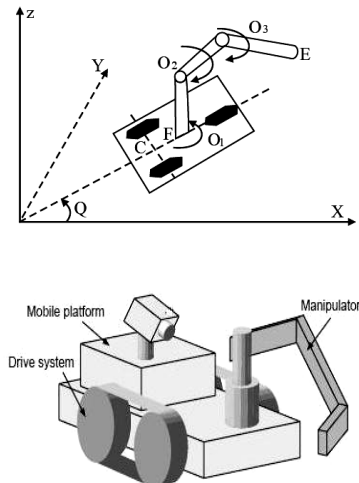
1- Mobile Platform

2- Work Space

3- Differentially-Driven Platform

همچنین طراحی مسیر بوسیله چند جمله‌ای‌های پارامتریک شامل معیار عدم برخورد توسط گوو و همکارانش مورد بررسی قرار گرفت [۷].

در این مقاله، پس از بررسی سینماتیکی مسئله و ارائه‌ی روش طراحی مسیر و فرمولاسیون آن، مسئله بهینه سازی شامل تابع هدف و قیود مورد نظر ارایه می‌شود. پس از حل مسئله بهینه‌یابی، دو نمونه عددی برای یک ربات فضایی تحلیل و شبیه‌سازی شده و سپس نتایج گرافیکی و تحلیلی ارائه می‌شود. برای این کار مطابق شکل (۲) یک بازوی مکانیکی ماهر با سه درجه آزادی روی پایه متحرک فرض می‌شود که باید از موقعیت اولیه به موقعیت نهایی ثابت برسد و از برخورد با یک سری موانع با اندازه‌های مختلف پرهیز کند. ایده یافتن مسیری است که یک شاخص را بهینه کند. برای این منظور از تکنیک‌های بهینه سازی مانند الگوریتم ژنتیک برای یافتن مسیر بهینه بین موانع استفاده می‌شود.



شکل (۲) نمونه پایه متحرک ربات فضایی مورد بررسی [۲].

در اینجا فرض می‌شود موقعیت اولیه و نهایی نقطه  $F$  (متاتاظر با نقطه اتصال بازو به پایه) و زوایای مفصلی اولیه و نهایی بازو داده شده است. موانع شبیه‌سازی شده در این مقاله موانع استوانه‌ای است. در این تحقیق سینماتیک و دینامیک ترکیب بازوی سه درجه آزادی فضایی با پایه با رانش دیفرانسیل بررسی می‌شود. قید غیرهلونومیک حاکم بر این پایه متحرک ربات را به دست آورده و معادلات دینامیکی ارائه می‌شود. در نهایت مسیر حرکت ربات طوری به دست می‌آید که قید

اضافه کردند و با استفاده از روش‌های بهینه سازی سعی به کوتاه کردن طول مسیر طی شده توسط پنجه داشتند، این روش بر پایه روش میزان پتانسیل و کمینه کردن معیارهای انتگرالی بنا شده بود [۱].

پاپادوبولوس و همکارانش روشی برای تولید مسیر پایه متحرک و بازوی یک پایه متحرک ربات ارائه دادند به طوری که سیستم از یک موقعیت اولیه مشخص به موقعیت نهایی از پیش تعیین شده برسد و قید غیرهلونومیک را نقض نکند، مسیر پیشنهادی آنها یک تابع چند جمله‌ای هموار و پیوسته بود [۲].

لاوی و همکارانش از الگوریتم ژنتیک برای بهینه کردن مسیر حرکت یک بازوی مکانیکی ماهر با افزونگی درجات آزادی استفاده کردند. آنها کمینه کردن حرکت عضوها در حین حرکت پنجه را بعنوان معیاری برای بهینه سازی قرار دادند [۳].

پاپادوبولوس و همکارش، روشی برای طراحی مسیر یک بازوی ماهر نصب شده بر روی پایه متحرک با رانش دیفرانسیل، در حضور موانع ارائه دادند. در این روش مسیر حرکت پایه و عضوها به صورت چند جمله‌ای در نظر گرفته شده است. به طوری که شرایط مرزی را ارضا کرده و قید غیرهلونومیک پایه را نقض نکند. هدف آنها تنها به دست آوردن مسیر بود و سعی به بهینه‌سازی آن نداشتند. همچنین موانع و بازوی به کار رفته در این ربات همگی صفحه‌ای فرض شده بودند. [۴].

هو و همکارانش مدل‌سازی سینماتیکی و دینامیکی یک بازوی ماهر فضایی با پایه متحرک را با استفاده از فرمول لاگرانژ شرح دادند. در این مقاله از روش میدان پتانسیل برای مسیریابی ربات بدون حضور موانع استفاده شده است [۵].

حداد و همکارانش، طراحی مسیر بهینه برای یک بازوی مکانیکی ماهر را در حضور موانع انجام دادند. آنها یک تابع هدف مشکل از دو جمله (زمان طی مسیر و مربع میانگین گشتاور مقاطل) را تحت برخی قیود سینماتیکی و دینامیکی و قیود عدم برخورد مینیمم کرده و مسیر را بر اساس آن طراحی نمودند [۶].

پارامترهای هندسی بازو نیز در جدول (۲) ارائه شده است؛

جدول (۲) پارامترهای هندسی بازو.

پارامتر	توضیحات
$\theta_1, \theta_2, \theta_3$	موقعیت زاویه‌ای هر یک از عضوها
$l_1, l_2, l_3$	نسبت به عضو قبلی
$r_1, r_2, r_3$	طول عضوها فاصله مرکز جرم هر عضو از ابتدای آن

سرعت مرکز جرم پایه ( $G$ ) بر محور چرخ‌ها عمود است و مؤلفه‌های آن در راستای  $X$  و  $Y$  عبارت است از:

$$\dot{x} = v_G \cos \varphi, \quad \dot{y} = v_G \sin \varphi \quad (1)$$

با حذف  $v_G$  از رابطه (۱) رابطه زیر نتیجه می‌شود:

$$\dot{x} \sin \varphi - \dot{y} \cos \varphi = 0 \quad (2)$$

این رابطه قید سرعت یک قید غیر هلونومیک است و قابل انتگرالگیری نیست. متغیرهای کنترل پایه، سرعت چرخ‌های چپ و راست ( $\dot{\theta}_r, \dot{\theta}_l$ ) می‌باشد. هدف آن است که سرعت‌های تعیین‌یافته پایه ( $\dot{\varphi}, \dot{z}, \dot{x}$ ) را به صورت توابعی از سرعت‌های مستقل ورودی پایه ( $\dot{\theta}_r, \dot{\theta}_l$ ) نوشت. با نوشتن روابط میان سرعت‌ها، سرعت زاویه‌ای پایه به صورت زیر بدست می‌آید:

$$\dot{\varphi} = \frac{R}{D} (\dot{\theta}_r - \dot{\theta}_l) \quad (3)$$

به همین ترتیب مقدار سرعت مرکز جرم پایه را می‌توان محاسبه نمود:

$$v_G = \frac{R}{2} (\dot{\theta}_r + \dot{\theta}_l) \quad (4)$$

با توجه به شرط عدم لغزش چرخ‌ها، راستای سرعت مرکز جرم پایه،  $v_G$  همواره بر محور چرخ‌ها عمود است. حال مؤلفه‌های سرعت مرکز جرم پایه در دستگاه مرجع به صورت زیر است:

$$\dot{x} = v_G \cos \varphi = \frac{R}{2} \cos \varphi (\dot{\theta}_r + \dot{\theta}_l) \quad (5)$$

$$\dot{y} = v_G \sin \varphi = \frac{R}{2} \sin \varphi (\dot{\theta}_r + \dot{\theta}_l)$$

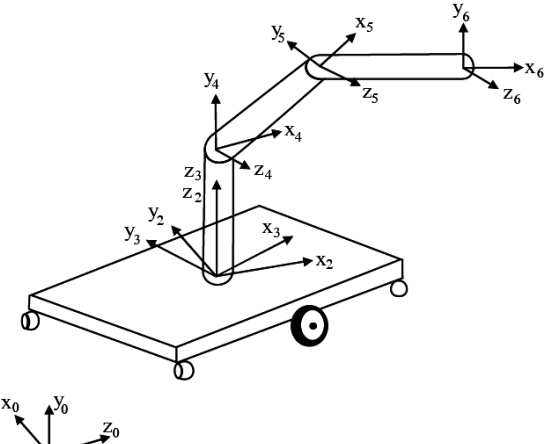
با انتخاب بردار  $q = [x \ y \ \varphi \ \theta_1 \ \theta_2 \ \theta_3]^T$  به عنوان مختصات تعیین‌یافته، معادله قید رابطه (۲) را می‌توان به فرم ماتریسی زیر نوشت:

$$A(q)\dot{q} = 0 \quad (6)$$

غیرهلوونومیک نقض نشود، پایه و باز و به مانع یا مواد برخورد نکنند، و همزمان مسیر طی شده توسط پنجه و پایه و مجموع گشتاورهای وارد به حرکت‌ها حداقل شود.

## ۲- سینماتیک و دینامیک ربات

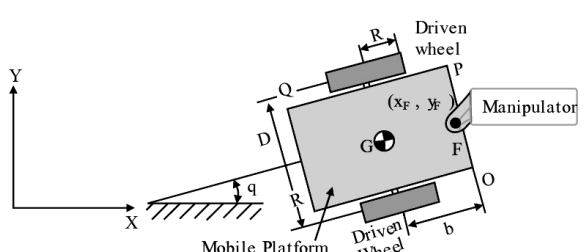
مطابق شکل (۳) یک بازوی مکانیکی ماهر فضایی بر روی پایه قرار گرفته است. این بازو سه درجه آزادی داشته و هر مفصل توسط یک موتور حرکت می‌کند. عضو ۱ بازو می‌تواند حول محور قائم دوران کند و عضوهای ۲ و ۳ می‌توانند در جهات بالا و پایین حرکت کنند. جدول (۱) و شکل (۴) پارامترهای هندسی پایه را نشان می‌دهد:



شکل (۳) نمای شماتیک بازوی مکانیکی ماهر فضایی [۵].

جدول (۱) پارامترهای هندسی پایه.

پارامتر	توضیحات
$D$	عرض پایه (فاصله بین دو چرخ)
$l$	طول پایه
$\varphi$	زاویه چرخش پایه
$x, y$	موقعیت مرکز جرم پایه
$\theta_l, \theta_r$	جابجایی زاویه‌ای چرخ‌ها
$R$	شعاع چرخ‌ها



شکل (۴) نمای شماتیک پایه ربات [۸].

حال با در نظر گرفتن  $\dot{X} = [\dot{x}_E \ \dot{y}_E \ \dot{x} \ \dot{y}]$  و همچنین داشتن  $v = [\dot{\theta}_r \ \dot{\theta}_l \ \dot{\theta}_1 \ \dot{\theta}_2 \ \dot{\theta}_3]$  رابطه (۵) و (۱۲) را می‌توان به صورت زیر نوشت:

$$\dot{X} = Jv \quad (13)$$

که  $J$ ، ماتریس ژاکوبین و مؤلفه‌های آن در پیوست (۱) ارائه شده است.

برای استخراج مدل دینامیکی ربات از روش ضرایب لاغرانژ بهره گرفته‌می‌شود. بازوی مکانیکی ماهر با پایه متحرک به‌دلیل وجود قید غیر هلونومیک، یک سیستم مقید است. معادلات لاغرانژ برای یک سیستم مقید به صورت زیر بیان می‌شود:

$$\frac{d}{dt} \left( \frac{\partial L}{\partial \dot{q}} \right) - \frac{\partial L}{\partial q} = Q + A^T \lambda \quad (14)$$

که در آن  $L = T - U$  لاغرانژین کل سیستم،  $T$  انرژی جنبشی کل سیستم،  $U$  انرژی پتانسیل سیستم،  $A$  ماتریس ضرایب  $\dot{q}$  در فرم پافین معادله قید  $(A\dot{q} = 0)$ ،  $\lambda$  ضرایب لاغرانژ و  $Q$  نیروهای تعیین‌یافته می‌باشد.

برای محاسبه انرژی جنبشی و پتانسیل کل سیستم، فرض می‌شود. فاصله مرکز هر یک از عضوها از ابتدای آن عضو در بازو،  $r_1$ ،  $r_2$  و  $r_3$  باشد. مختصات مرکز جرم عضو ۱ بازو را به صورت زیر می‌توان نوشت:

$$\begin{aligned} x_1 &= x_F = x + b \cos \varphi \\ y_1 &= y_F = y + b \sin \varphi \\ z_1 &= r_1 \end{aligned} \quad (15)$$

به همین ترتیب مختصات مرکز جرم عضوهای ۲ و ۳ بازو نیز به صورت زیر است:

$$\begin{aligned} x_2 &= x_1 + r_2 \cos \theta_2 \cos(\varphi + \theta_1) \\ y_2 &= y_1 + r_2 \cos \theta_2 \sin(\varphi + \theta_1) \\ z_2 &= l_1 + r_2 \sin \theta_2 \\ x_3 &= x_1 + l_2 \cos \theta_2 \cos(\varphi + \theta_1) \\ &\quad + r_3 \cos(\theta_2 + \theta_3) \cos(\varphi + \theta_1) \\ y_3 &= y_1 + l_2 \cos \theta_2 \sin(\varphi + \theta_1) \\ &\quad + r_3 \cos(\theta_2 + \theta_3) \sin(\varphi + \theta_1) \\ z_3 &= l_1 + l_2 \sin \theta_2 + r_3 \sin(\theta_2 + \theta_3) \end{aligned} \quad (16)$$

انرژی جنبشی و پتانسیل کل سیستم را می‌توان به صورت زیر نوشت:

که در آن:

$$A(q) = [\sin \varphi \ -\cos \varphi \ 0 \ 0 \ 0 \ 0] \quad (7)$$

سرعت‌های تعیین‌یافته مستقل را به صورت در نظر می‌گیریم.

$$v = [\dot{\theta}_r \ \dot{\theta}_l \ \dot{\theta}_1 \ \dot{\theta}_2 \ \dot{\theta}_3]$$

رابطه بین مشتق زمانی مختصات تعیین‌یافته و سرعت‌های تعیین‌یافته مستقل را می‌توان به صورت زیر نوشت:

$$\dot{q} = S(q)v \quad (8)$$

که در آن ماتریس  $S$  به صورت زیر به دست می‌آید:

$$S(q) = \begin{bmatrix} \frac{R}{2} \cos \varphi & \frac{R}{2} \cos \varphi & 0 & 0 & 0 \\ \frac{R}{2} \sin \varphi & \frac{R}{2} \sin \varphi & 0 & 0 & 0 \\ \frac{R}{D} & -\frac{R}{D} & 0 & 0 & 0 \\ 0 & 0 & 1 & 0 & 0 \\ 0 & 0 & 0 & 1 & 0 \\ 0 & 0 & 0 & 0 & 1 \end{bmatrix} \quad (9)$$

برای بررسی سینماتیک بازوی مستقر بر روی پایه ابتدا مختصات پنجه (E) را به صورت زیر می‌نویسیم:

$$\begin{aligned} x_E &= x_F + l_2 \cos \theta_2 \cos(\varphi + \theta_1) \\ &\quad + l_3 \cos(\theta_2 + \theta_3) \cos(\varphi + \theta_1) \\ y_E &= y_F + l_2 \cos \theta_2 \cos(\varphi + \theta_1) \\ &\quad + l_3 \cos(\theta_2 + \theta_3) \cos(\varphi + \theta_1) \\ z_E &= l_1 + l_2 \sin \theta_2 + l_3 \sin(\theta_2 + \theta_3) \end{aligned} \quad (10)$$

که در آن:

$$\begin{aligned} x_F &= x + b \cos \varphi \\ y_F &= y + b \sin \varphi \end{aligned} \quad (11)$$

با مشتق‌گیری از رابطه (۱۰)، مؤلفه‌های سرعت پنجه به دست می‌آید:

$$\begin{aligned} \dot{x}_E &= \dot{x}_F - [l_2 \cos \theta_2 \sin(\varphi + \theta_1)](\dot{\varphi} + \dot{\theta}_1) \\ &\quad + l_3 \cos(\theta_2 + \theta_3) \sin(\varphi + \theta_1)(\dot{\varphi} + \dot{\theta}_1) \\ &\quad - [l_2 \sin \theta_2 \cos(\varphi + \theta_1)] \\ &\quad + l_3 \sin(\theta_2 + \theta_3) \cos(\varphi + \theta_1)[\dot{\theta}_2 \\ &\quad - [l_3 \sin(\theta_2 + \theta_3) \sin(\varphi + \theta_1)]\dot{\theta}_3 \\ \dot{y}_E &= \dot{y}_F + [l_2 \cos \theta_2 \cos(\varphi + \theta_1)] \\ &\quad + l_3 \cos(\theta_2 + \theta_3) \cos(\varphi + \theta_1)(\dot{\varphi} + \dot{\theta}_1) \\ &\quad - [l_2 \sin \theta_2 \sin(\varphi + \theta_1)] \\ &\quad + l_3 \sin(\theta_2 + \theta_3) \sin(\varphi + \theta_1)[\dot{\theta}_2 \\ &\quad - [l_3 \sin(\theta_2 + \theta_3) \cos(\varphi + \theta_1)]\dot{\theta}_3 \\ \dot{z}_E &= [l_2 \cos \theta_2 + l_3 \cos(\theta_2 + \theta_3)]\dot{\theta}_2 \\ &\quad + l_3 \cos(\theta_2 + \theta_3)\dot{\theta}_3 \end{aligned} \quad (12)$$

در این رابطه ستون‌های  $S$  پایه‌هایی برای فضای پوچ<sup>۱</sup> ماتریس  $A$  هستند. بنابراین  $S$  باید از رتبه ستونی کامل<sup>۲</sup> باشد، پس نتیجه می‌شود:

$$AS = \circ \quad (20)$$

و با مشتق‌گیری از رابطه (۱۹) نتیجه می‌شود:

$$\ddot{q} = \dot{S}\dot{v} + S\ddot{v} \quad (21)$$

با جایگذاری رابطه (۲۱) و پیش ضرب آن در  $S^T$  نتیجه می‌شود:

$$\bar{M}(q)\dot{v} + \bar{V}(q, \dot{q}) + \bar{G}(q) = \bar{B}(q)\tau \quad (22)$$

که در آن:

$$\begin{aligned} \bar{M}(q) &= S^T M S \\ \bar{V}(q, \dot{q}) &= S^T (V + M \dot{S}v) \\ \bar{G}(q) &= S^T G \\ \bar{B}(q) &= S^T B \end{aligned} \quad (23)$$

### ۳- طراحی مسیر در حضور مواد

یک سیستم متحرک هنگامی مفید است که هدف خارج از دسترسی بازو باشد، در این صورت قابلیت تحرک پایه کارایی خود را نشان می‌دهد و ربات را قادر می‌سازد تا در پهنه وسیع تری عمل نماید. لازمه استفاده مؤثر از سیستم بازوی مکانیکی متحرک فراهم آوردن روش طراحی است که بتواند یک مسیر ممکن را برای راندن پنجه به سمت هدف مورد نظر بدون نقض کردن قیدهای غیرهلونومیک فراهم کند. به هر حال در بسیاری از کاربردها لازم است که موقعیت و زاویه پایه از قبل مشخص باشد.

در اینجا هدف طراحی مسیر هم برای پایه و هم برای بازو است به طوری که سیستم از یک موقعیت اولیه به یک موقعیت نهایی مشخص برسد. حل این مسئله به یافتن مسیری برای پایه متحرک معطوف شده است که موقعیت اولیه آن را ( $x_F^{in}, y_F^{in}, \varphi^{in}$ ) را به موقعیت نهایی ( $x_F^{fin}, y_F^{fin}, \varphi^{fin}$ ) متصل کند. باید توجه داشت در حین طراحی مسیر، قید غیرهلونومیک نباید نقض شود. قید غیرهلونومیک به دست آمده برای پایه مورد استفاده را می‌توان به صورت زیر بیان نمود:

$$\dot{x}_F \sin \varphi - \dot{y}_F \cos \varphi + \dot{\varphi} b = \circ \quad (24)$$

$$\begin{aligned} T &= \frac{1}{2} m_o (\dot{x}^2 + \dot{y}^2) + \frac{1}{2} J_o \dot{\varphi}^2 + \frac{1}{2} m_1 (\dot{x}_1^2 + \dot{y}_1^2) \\ &\quad + \frac{1}{2} m_2 (\dot{x}_2^2 + \dot{y}_2^2 + \dot{z}_2^2) + \frac{1}{2} J_2 [(\dot{\varphi} + \dot{\theta}_1)^2 + \dot{\theta}_2^2] \\ &\quad + \frac{1}{2} m_3 (\dot{x}_3^2 + \dot{y}_3^2 + \dot{z}_3^2) \\ &\quad + \frac{1}{2} J_3 [(\dot{\varphi} + \dot{\theta}_1)^2 + (\dot{\theta}_2 + \dot{\theta}_3)^2] \end{aligned}$$

$$U = m_1 g r_1 + m_2 g (l_1 + r_2 \sin \theta_2) + m_3 g [l_1 + l_2 \sin \theta_2 + r_3 \sin (\theta_2 + \theta_3)] \quad (17)$$

و با داشتن لاغرانژین کل سیستم و جایگزین کردن مقادیر آن از رابطه (۱۷) در رابطه (۱۴) به رابطه زیر نتیجه می‌شود:

$$M(q)\ddot{q} + V(q, \dot{q}) + G(q) = B(q)\tau - A(q)^T \lambda \quad (18)$$

که در آن  $M(q)$  ماتریس جرم،  $V(q, \dot{q})$  بردار نیروهای کوریولیس،  $G(q)$  بردار نیروهای گرانش بوده و ماتریس  $B(q)$  در پیوست ۲ ارائه شده‌اند.

مؤلفه‌های بردار  $\tau = [\tau_r \ \tau_1 \ \tau_2 \ \tau_3]$  به ترتیب گشتاور محرک چرخ راست، گشتاور محرک چرخ چپ و گشتاور محرک عضوهای ۱ و ۲ و ۳ می‌باشد. این نکته نیز قابل ذکر است که در رابطه (۱۸) ماتریس جرم ( $M(q)$ ، یک ماتریس مثبت و متقارن می‌باشد. پارامترهای دینامیکی به کار رفته در روابط در جدول [۳] ارائه شده است.

جدول (۳) پارامترها و متغیرهای دینامیکی پایه و بازو.

پارامتر	توضیحات
$m_o$	جرم پایه
$J_o$	ممان اینرسی پایه حول محور $z$
$m_1, m_2, m_3$	جرم عضوهای بازو
$J_2, J_3$	ممان اینرسی عضوهای ۲ و ۳ نسبت به مرکز جرم
$\tau_r, \tau_l$	گشتاورهای وارد به چرخ‌های پایه
$\tau_1, \tau_2, \tau_3$	گشتاورهای وارد به عضوهای بازو

اکنون برای ساده‌تر کردن معادله (۱۸) و با هدف حذف ضرایب لاغرانژ از روابط به دست آمده در بخش سینماتیک استفاده می‌شود. از رابطه (۸) که مشتق مختصات تعیین‌یافته را توسط ماتریس  $S(q)$  به سرعت‌های تعیین‌یافته مستقل  $v = [\dot{\theta}_r \ \dot{\theta}_l \ \dot{\theta}_1 \ \dot{\theta}_2 \ \dot{\theta}_3]$  مرتبط می‌نماید، می‌توان نوشت:

$$\dot{q} = S(q)v \quad (19)$$

به همین ترتیب می‌تواند چند جمله‌ای یا اسپلاین باشد. با توجه به رابطه (۲۸) باید شرایط اولیه و نهایی حرکت درتابع  $g$  صدق کند. در نهایت  $v$  نیز از رابطه (۳۲) محاسبه می‌شود. هنگامی که  $w, u, v$  به دست آمد با معکوس کردن رابطه (۳۱) مختصات پایه به دست می‌آید.

ابتدا فرض می‌شود مانعی در مسیر حرکت قرار ندارد، برای به دست آوردن مسیر پایه طبق روشی که گفته شد، توابع  $f$  و  $g$  را در رابطه (۳۲) به ترتیب چند جمله‌ای‌های درجه ۵ و ۳

انتخاب می‌کنیم:

$$f(t) = a_5 t^5 + a_4 t^4 + a_3 t^3 + a_2 t^2 + a_1 t + a_0 \quad (33)$$

$$g(w) = b_5 w^5 + b_4 w^4 + b_3 w^3 + b_2 w^2 + b_1 w + b_0 \quad (34)$$

ضرایب چند جمله‌ای‌های توابع  $f$  و  $g$  طوری محاسبه می‌شوند که شرایط اولیه و نهایی حرکت ارضا شود. با محاسبه  $u$  و  $v$  از فرمولهای (۲۸) و (۲۹) در ابتداء و انتهای حرکت چهار شرط مرزی وجود دارد که ضرایب مجھول چند جمله‌ای  $g$  به دست می‌آید. با داشتن موقعیت، سرعت و شتاب پایه در ابتداء و انتهای حرکت ضرایب مجھول چند جمله‌ای (۳۳) نیز به دست می‌آید.

برای به دست آوردن شکل تغییرات متغیر مفصلی هر یک از عضوها نیز یک چند جمله‌ای درجه ۵ بر حسب زمان منظور شده است:

$$\theta_1(t) = \alpha_5 t^5 + \alpha_4 t^4 + \alpha_3 t^3 + \alpha_2 t^2 + \alpha_1 t + \alpha_0 \quad (35)$$

$$\theta_2(t) = \beta_5 t^5 + \beta_4 t^4 + \beta_3 t^3 + \beta_2 t^2 + \beta_1 t + \beta_0 \quad (36)$$

$$\theta_3(t) = \gamma_5 t^5 + \gamma_4 t^4 + \gamma_3 t^3 + \gamma_2 t^2 + \gamma_1 t + \gamma_0 \quad (37)$$

با داشتن موقعیت، سرعت و شتاب زاویه‌ای هر یک از بازوها در ابتداء و انتهای حرکت، معادله به دست می‌آید که ضریب مجھول، هر یک از روابط (۳۵) الی (۳۷) به دست می‌آید.

به منظور جلوگیری از برخورد با موانع، درجه آزادی دیگری باید به مسیر طراحی اضافه شود. یک روش ساده آن است که ضرایب دیگری به چند جمله‌ای ( $w$ ) اضافه کرد که تعداد آن به تعداد موانع و موقعیت آنها در فضای کاری بستگی دارد. این ضرایب اضافی نباید روی اراضی شرایط مرزی تأثیر بگذارد، بلکه باید طوری باشد که به کمک آنها بتوان مسیر را تغییر داد. بدین ترتیب مسئله عدم برخورد با موانع را می‌توان به مسئله

این قید از نوع اسکلرونومیک می‌باشد و بنابراین آن را به فرم pfaffian به صورت زیر می‌توان نوشت:

$$P(x_F, y_F, \varphi) dx_F + Q(x_F, y_F, \varphi) dy_F + R(x_F, y_F, \varphi) d\varphi = 0 \quad (25)$$

که  $P, Q, R$  به صورت زیر است:

$$P = \sin \varphi, \quad Q = -\cos \varphi, \quad R = b \quad (26)$$

رابطه (۲۵) برای طراحی مسیر مناسب نیست ولی قابل تبدیل به فرم زیر است:

$$du + v dw = 0 \quad (27)$$

استفاده از رابطه (۲۷) به سادگی روند حل کمک می‌کند.  $u, v$  تابع  $w, X_F, Y_F, \varphi$  است.

برای تبدیل قید غیرهلوونومیک توصیف شده در رابطه (۲۴) به شکل معادل آن یعنی رابطه (۲۷)،  $u, v, w$  به صورت زیر به دست می‌آیند:

$$u = x_F \sin \varphi - y_F \cos \varphi \quad (28)$$

$$v = b - x_F \cos \varphi - y_F \sin \varphi \quad (29)$$

$$w = \varphi \quad (30)$$

روابط (۲۸) تا (۳۰) در حقیقت تبدیلی از فضای  $(x_F, y_F, \varphi)$  به فضای  $(u, v, w)$  است. اگر این روابط را به فرم ماتریسی نوشته شود و داریم:

$$\begin{Bmatrix} u \\ v \\ w \\ 1 \end{Bmatrix} = \begin{bmatrix} \sin \varphi & -\cos \varphi & 0 & 0 \\ -\cos \varphi & -\sin \varphi & 0 & b \\ 0 & 0 & 1 & 0 \\ 0 & 0 & 0 & 1 \end{bmatrix} \begin{Bmatrix} x_F \\ y_F \\ \varphi \\ 1 \end{Bmatrix} \quad (31)$$

بنابراین به یک ماتریس دست یافته که قید غیرهلوونومیک رابطه (۲۴) را به معادل آن رابطه (۲۷) تبدیل می‌کند. برای اراضی این قید کافی است  $u, v, w$  را به صورت زیر انتخاب شود:

$$\begin{aligned} w &= f(t) \\ u &= g(w) \\ v &= -\frac{du}{dw} = -g'(w) \end{aligned} \quad (32)$$

بنابراین مسئله طراحی مسیر انتخاب  $f$  و  $g$  به نحوی است که شرایط اولیه و نهایی حرکت ربات ارضا شود. به عنوان مثال با توجه به رابطه (۳۲) مقدار  $f$  هر تابعی از زمان است که موقعیت زاویه‌ای پایه  $\varphi$  را در شرایط اولیه حرکت و پایان حرکت ارضا کند. این تابع ممکن است چند جمله‌ای، اسپلاین یا هر تابع پیوسته و یکنواخت از زمان باشد. تابع  $g$  نیز

$$v_1 = b - x_1 \cos \varphi - y_1 \sin \varphi \quad (45)$$

با معکوس کردن روابط (۴۴) و (۴۵) روابط زیر نتیجه می‌شود:

$$x_1 = u_1 \sin w + (b - v_1) \cos w \quad (46)$$

$$y_1 = -u_1 \cos w + (b - v_1) \sin w \quad (47)$$

پس از جایگذاری روابط (۴۲)، (۴۳)، (۴۶) و (۴۷) در رابطه (۴۱) به دست می‌آید:

$$[u_F(w) - u_1(w)]^2 + [v_F(w) - v_1(w)]^2 > R_1^2 \quad (48)$$

رابطه (۴۸) یک رابطه‌ای است که قید عدم برخورد با مانع استوانه‌ای را برای نقطه  $F$  به ما می‌دهد که باید در مسئله طراحی مسیر منظور شود. حال روابطی برای عدم برخورد کل سیستم ربات متحرک ک با مانع استوانه‌ای استخراج می‌شود. در حالت کلی هفت حالت برخورد بین سیستم ربات متحرک و مانع وجود دارد؛ چهار حالت مربوط به چهار ضلع پایه متحرک و سه حالت مربوط به طول سه بازو است.

عدم برخورد نقطه  $F$  با مانع حالت خاصی از عدم برخورد ضلع  $OP$  با مانع است. با توجه به این نکته که مختصات هر نقطه از پایه را می‌توان براساس مختصات نقطه  $F$  نوشت، می‌توان برای هر نقطه از ربات قید عدم برخورد با مانع را به صورت یک رابطه نامساوی نوشت، به عنوان مثال در نقطه  $O$ :

$$x_O = x_F + \frac{D}{\gamma} \sin \varphi \quad (49)$$

$$y_O = y_F - \frac{D}{\gamma} \cos \varphi \quad (50)$$

از طرفی مختصات نقطه  $O$  را می‌توان از فضای  $x-y$  به فضای  $u-v-w$  به صورت زیر تصویر کرد:

$$u_O = x_O \sin \varphi - y_O \cos \varphi \quad (51)$$

$$v_O = b - x_O \cos \varphi - y_O \sin \varphi \quad (52)$$

با جایگذاری روابط (۴۹) و (۵۰) در روابط (۵۱) و (۵۲) و

پس از ساده سازی روابط زیر نتیجه می‌شود:

$$u_O = u_F + \frac{D}{\gamma} \quad (53)$$

$$v_O = v_F \quad (54)$$

پس شرط عدم برخورد نقطه  $O$  با مانع به صورت زیر بیان می‌شود:

$$\left( u_F + \frac{D}{\gamma} - u_1 \right)^2 + (v_F - v_1)^2 > R_1^2 \quad (55)$$

یافتن مقادیر مناسب برای ضرایب اضافی تبدیل کرد، حل کردن این مسئله از لحاظ تحلیلی کار را راحت می‌کند. برای شروع ابتدا عدم برخورد یک نقطه از پایه با یک مانع استوانه‌ای را بررسی و مسئله عدم برخورد برای کل سیستم ربات متحرک در حضور مانع استوانه‌ای شرح داده می‌شود. پس فرض بر آن است که یک مانع استوانه‌ای در مسیر حرکت وجود دارد و بنابراین یک ضریب  $b_4$  به چند جمله‌ای  $u(w)$  اضافه می‌شود:

$$g(w) = b_4 w^4 + b_3 w^3 + b_2 w^2 + b_1 w + b_0 \quad (38)$$

از آنجایی که قید غیرهلوونومیک باید ارضاء شود، معادلات زیر را برای  $u$  و  $v$  داریم:

$$u(w) = b_4 w^4 + \sum_{i=0}^3 b_i w^i \quad (39)$$

$$v(w) = -4b_4 w^3 - \sum_{i=1}^3 i b_i w^{i-1} \quad (40)$$

در حالی که همچنان رابطه (۳۳) برای  $\varphi$  و روابط (۳۵) الی (۳۷) برای  $\theta_3$  تا  $\theta_1$  برقرار است.

حال برای کامل شدن مسئله طراحی مسیر ربات، مدل ریاضی اجتناب از برخورد ربات با مانع را به شکل قیود نامساوی به مسئله طراحی مسیر اضافه می‌شود. فرض بر آن است که (۴۱) مرکز مانع استوانه‌ای و  $R_1$  شعاع استوانه باشد، به منظور به دست آوردن شرطی برای عدم برخورد، فاصله بین مرکز مانع و نقطه  $F$  روی پایه باید از شعاع مانع در هر لحظه از حرکت بزرگتر باشد:

$$(x_F - x_1)^2 + (y_F - y_1)^2 > R_1^2 \quad (41)$$

از طرفی با معکوس کردن روابط (۲۸) و (۲۹) بر حسب  $v_F$ ،  $u_F$  به دست می‌آید:

$$y_F = -u_F \cos w + (b - v_F) \sin w \quad (42)$$

$$x_F = u_F \sin w + (b - v_F) \cos w \quad (43)$$

با توجه به این نکته که مانع استوانه‌ای در فضای  $x-y$  به استوانه‌ای با همان شعاع در فضای  $u-v-w$  تصویر می‌شود، بنابراین مرکز استوانه در فضای  $x-y$  قابل تبدیل به فضای

است:  $u-v-w$

$$u_1 = x_1 \sin \varphi - y_1 \cos \varphi \quad (44)$$

ابتدا مختصات نقاط واقع بر عضو دوم را بر حسب نقطه  $F$  به

صورت زیر نوشته می‌شود:

$$x_{AB} = x_F + x_2 \cos \theta_2 \cos(\varphi + \theta_1), \quad 0^\circ \leq x_2 \leq l_2 \quad (66)$$

$$y_{AB} = y_F + x_2 \cos \theta_2 \sin(\varphi + \theta_1), \quad 0^\circ \leq x_2 \leq l_2 \quad (67)$$

با جایگذاری روابط (۶۶) و (۶۷) در روابط (۲۸) و (۲۹)

مختصات عضو اول بر حسب مختصات نقطه  $F$  در فضای  $u-v-w$  به دست می‌آید:

$$u_{AB} = u_F - x_2 \cos \theta_2 \sin \theta_1, \quad 0^\circ \leq x_2 \leq l_2 \quad (68)$$

$$v_{AB} = v_F - x_2 \cos \theta_2 \cos \theta_1, \quad 0^\circ \leq x_2 \leq l_2 \quad (69)$$

پس نامساوی زیر عدم برخورد عضو دوم با مانع استوانه‌ای را تضمین می‌کند:

$$(u_F - x_2 \cos \theta_2 \sin \theta_1 - u_1)^2 + (v_F - x_2 \cos \theta_2 \cos \theta_1 - v_1)^2 > R_1^2 \quad (70)$$

$$, \quad 0^\circ \leq x_2 \leq l_2$$

به همین ترتیب روابطی مشابه می‌توان برای عضو سوم به دست آورده.

#### ۴- طراحی مسیر بهینه

همانگونه که گفته شد، ربات‌های پایه متحرک دارای درجات آزادی اضافه هستند که با توجه به آنها، می‌توان مسیر حرکت را بهینه کرد، با توجه به اینکه موقعیت بازو و پایه در ابتدا و انتهای حرکت مشخص است، آنچه که واضح است سرعت بازو و پایه نیز در ابتدا و انتهای حرکت صفر می‌باشد ولی می‌توان برای بازو و پایه در ابتدا و انتهای حرکت، شتاب متصور بود که مقدار شتاب هر یک از عضوها و پایه را می‌توان به عنوان پارامترهای بهینه سازی در نظر گرفت. از طرفی متغیر  $b_4$  در رابطه مربوط به  $(w-g)$  دیگر پارامتر بهینه سازی است که به منظور ارضای قیود عدم برخورد با مانع منظور شده است. این پارامترها و تعداد آنها را می‌توان به منظور افزایش کارایی روش ارائه شده و بهبود جواب بهینه به دست آمده، با توجه به نوع مسئله و تعداد موانع موجود در مسیر تغییر داد.

قیود اصلی حاکم بر مسئله شامل قیود سینماتیکی عدم برخورد پایه متحرک (کل نقاط محیطی پایه) و بازوی

به همین ترتیب برای نقطه  $P, Q, R$  در شکل (۴) خواهیم داشت:

$$u_P = u_F - \frac{D}{2} \quad v_P = v_F \quad (56)$$

$$u_Q = u_F - \frac{D}{2} \quad v_Q = v_F + l \quad (57)$$

$$u_R = u_F + \frac{D}{2} \quad v_Q = v_F + l \quad (58)$$

پس از بررسی چهار رأس پایه به بررسی ضلع‌های پایه پرداخته می‌شود. بدین منظور ابتدا ضلع  $OP$  را بررسی شده است. اگر مختصات نقاط واقع بر ضلع  $OP$  بر حسب

مختصات نقطه  $F$  نوشته شود:

$$x_{OP} = x_F + k \sin \varphi \quad (59)$$

$$y_{OP} = x_F - k \cos \varphi \quad (60)$$

در روابط بالا  $k$  متغیر است و در بازه  $\left[-\frac{D}{2}, \frac{D}{2}\right]$  تغییر

می‌کند. با جایگذاری روابط (۵۹) و (۶۰) در روابط (۲۸) و (۲۹) مختصات ضلع  $OP$  در فضای  $u-v-w$  بر حسب نقطه  $F$  به

دست می‌آید:

$$u_{OP} = u_F + k \quad v_{OP} = v_F, \quad -\frac{D}{2} \leq k \leq \frac{D}{2} \quad (61)$$

پس نامساوی زیر شرط عدم برخورد ضلع  $OP$  با مانع استوانه‌ای را بیان می‌کند:

$$(u_F + k - u_1)^2 + (v_F - v_1)^2 > R_1^2, \quad -\frac{D}{2} \leq k \leq \frac{D}{2} \quad (62)$$

به همین ترتیب برای اصلاح  $RO, QR, PQ$  مختصات اصلاح در فضای  $u-v-w$  بر حسب نقطه  $F$  به دست می‌آید و نامساوی‌های مشابه حاصل می‌شود:

$$u_{PQ} = u_F - \frac{d}{2} \quad v_{PQ} = v_F + c, \quad 0^\circ \leq c \leq l \quad (63)$$

$$u_{QR} = u_F + k \quad v_{QR} = v_F + l, \quad -\frac{D}{2} \leq k \leq \frac{D}{2} \quad (64)$$

$$u_{RO} = u_F + \frac{d}{2} \quad v_{RO} = v_F + c, \quad 0^\circ \leq c \leq l \quad (65)$$

شرط عدم برخورد پایه متحرک با مانع بررسی شد. حال شرایط برخورد بازو با مانع نیز باید بررسی شود. از آنجا که عضو اول بازو به صورت قائم بر روی نقطه  $F$  قرار دارد، با جلوگیری از برخورد ضلع  $OP$  از پایه به مانع، این عضو بازو نیز با مانع برخورد نخواهد داشت. حال کافی است عدم برخورد عضو دوم و سوم بازو بررسی شود. برای این کار

عددی نمونه‌های ارائه شده، در نهایت ضرایب ذکر شده به صورت زیر در نظر گرفته می‌شود:

$$W_1 = 1, \quad W_2 = 0.1 \quad (74)$$

در ادامه پس از بیان مشخصات ربات پایه متحرک شیوه‌سازی شده، با چند مثال و نمونه، روش ارائه شده اعمال می‌شود. مشخصات ربات پایه متحرک شیوه سازی شده، شامل پارامترهای هندسی پایه و بازو و همچنین پارامترهای دینامیکی در جدول (۴) و (۵) ارائه شده است.

جدول (۴) پارامترهای هندسی پایه و بازو

واحد	مقدار	پارامتر	توضیحات
$m$	۰/۴	$D$	عرض پایه (فاصله بین دو چرخ)
$m$	۰/۵	$l$	طول پایه
$m$	۰/۱	$R$	شعاع چرخها
$m$	۰/۲	$l_1$	طول عضو ۱
$m$	۰/۲	$l_2$	طول عضو ۲
$m$	۰/۲	$l_3$	طول عضو ۳
$m$	۰/۱	$r_1$	فاصله مرکز جرم عضو ۱ از ابتدای عضو
$m$	۰/۱	$r_2$	فاصله مرکز جرم عضو ۲ از ابتدای عضو
$m$	۰/۱	$r_3$	فاصله مرکز جرم عضو ۳ از ابتدای عضو

جدول (۵) پارامترهای دینامیکی پایه و بازو.

واحد	مقدار	پارامتر	توضیحات
$kg$	۵۰	$m_0$	جرم پایه
$kg$	۲	$m_1$	جرم عضو ۱
$kg$	۲	$m_2$	جرم عضو ۲
$kg$	۲	$m_3$	جرم عضو ۳
$kg.m^2$	۱/۷	$J_0$	ممان اینرسی پایه
$kg.m^2$	۰/۰۰۶۷	$J_2$	ممان اینرسی عضو ۲
$kg.m^2$	۰/۰۰۶۷	$J_3$	ممان اینرسی عضو ۳

**۵-مثال (۱) طراحی مسیر بهینه در حضور دو مانع ثابت**  
برای شیوه‌سازی موقعیت اولیه و نهایی ربات و دو مانع استوانه‌ای به صورت زیر در نظر گرفته می‌شود:  
موقعیت اولیه ربات:

$$(x_F^{in}, y_F^{in}, \varphi^{in}, \theta_1^{in}, \theta_2^{in}, \theta_3^{in}) = (-2, 1, -90^\circ, 60^\circ, 120^\circ) \quad (8)$$

موقعیت نهایی ربات:

$$(x_F^{fin}, y_F^{fin}, \varphi^{fin}, \theta_1^{fin}, \theta_2^{fin}, \theta_3^{fin}) = (1, 2, 90^\circ, 60^\circ, 10^\circ, 20^\circ)$$

مکانیکی (کل نقاط روی عضوها) با مانع یا موائع موجود در مسیر حرکت می‌باشد. این قیدها به شدت غیرخطی هستند. قیدهای سینماتیکی در مسئله طراحی مسیر برای ربات‌های دارای افزونگی درجهات آزادی به صورت قیود نامساوی در مسئله بهینه سازی هستند.

با توجه به افزونگی درجهات آزادی ربات، بینهایت جواب قابل قبول به دست می‌آید. از میان این جواب‌ها می‌توان با انتخاب یک یا چند پارامتر مناسب، جواب بهینه را برگزید. شاخص‌هایی که می‌تواند به عنوان تابع هدف مطرح شود و کمینه کردن آنها مطلوب می‌باشد، عبارت‌اند از:

(۱) اندیس دینامیکی (مقدار گشتاور محرک‌ها): این اندیس، شامل گشتاور وارد به پایه و بازو در طی مسیر است:

$$Fobj D = \int_0^T \sqrt{(\tau_r^2 + \tau_l^2 + \tau_1^2 + \tau_2^2 + \tau_3^2)} dt \quad (71)$$

که در آن اعضای بردار گشتاور  $[\tau_r \ \tau_l \ \tau_1 \ \tau_2 \ \tau_3] = \tau$  به ترتیب گشتاور محرک چرخ راست، گشتاور محرک چرخ چپ و گشتاور محرک عضوهای ۱ و ۲ و ۳ می‌باشد.  $T$  زمان کل حرکت است.

(۲) اندیس سینماتیکی (مسافت طی شده توسط پایه و پنجه): با کمینه کردن طول مسیر طی شده توسط پایه و بازو، ضمن کاهش زمان طی مسیر و افزایش سرعت عمل ربات، انرژی مصرفی نیز کاهش می‌یابد.

$$\begin{aligned} Fobj K &= Fobj K_1 + Fobj K_2 \\ &= \int_{In.Pos.}^{Fin.Pos.} \Delta S_F + \int_{In.Pos.}^{Fin.Pos.} \Delta S_E \end{aligned} \quad (72)$$

با در نظر گرفتن یک تابع هدف ترکیبی که شامل اندیس دینامیکی و سینماتیکی باشد می‌توان اندیس‌های ذکر شده را همزمان بهینه نمود:

$$Fobj = W_1 Fobj K + W_2 Fobj D \quad (73)$$

در رابطه فوق  $W_1$  و  $W_2$  ضرایب وزنی برای هر کدام از جملات می‌باشد. با توجه به تاثیر غیرمستقیم اندیس سینماتیکی نسبت به اندیس دینامیکی،  $Fobj K$  نسبت به  $Fobj D$  از اهمیت بیشتری برخوردار است. همچنین از حل

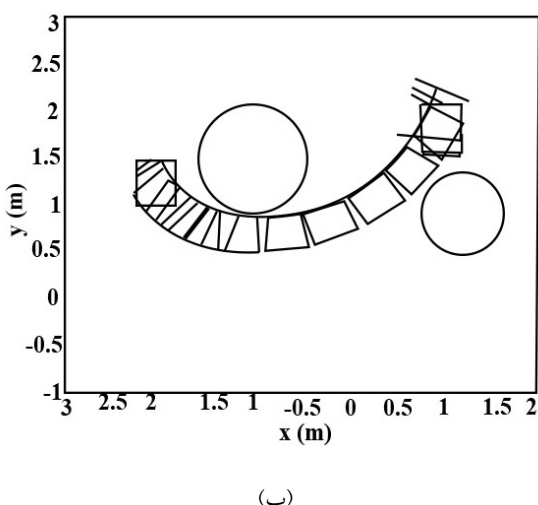
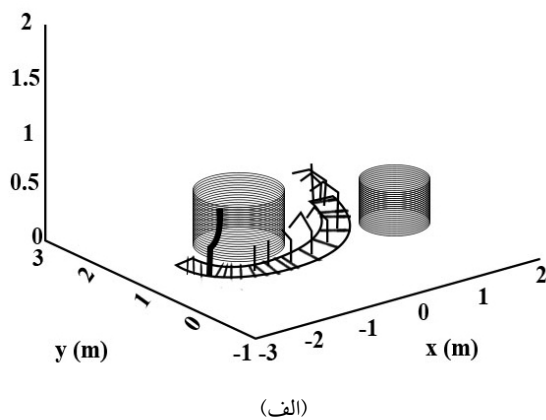
بنابراین در این حالت پارامترهای بهینه‌سازی به صورت زیر

بیان می‌شود:

$$\begin{aligned} x(1) &= b_5 & x(2) &= b_4 \\ x(3) &= \ddot{\theta}_{1in} & x(4) &= \ddot{\theta}_{1fin} \\ x(5) &= \ddot{\theta}_{2in} & x(6) &= \ddot{\theta}_{2fin} \\ x(7) &= \ddot{\theta}_{3in} & x(8) &= \ddot{\theta}_{3fin} \\ x(9) &= \ddot{\phi}_{in} & x(10) &= \ddot{\phi}_{fin} \end{aligned} \quad (76)$$

$X = [b_5 \ b_4 \ \ddot{\theta}_{1in} \ \ddot{\theta}_{1fin} \ \ddot{\theta}_{2in} \ \ddot{\theta}_{2fin} \ \ddot{\theta}_{3in} \ \ddot{\theta}_{3fin} \ \ddot{\phi}_{in} \ \ddot{\phi}_{fin}]$

پس از اجرای مسئله بهینه‌سازی و استخراج مقادیر بهینه پارامترها، مسیر بهینه ریات متحرک از بین تمامی مسیرهای ممکن به دست می‌آید. برای نمایش مسیر طی شده توسط ریات در زمان داده شده، چند نما از ترکیب ریات در طول زمان حرکت از موقعیت ابتدایی تا موقعیت نهایی را در حضور مانع ثابت مشخص نمایش داده شده است. شکل (۵) نتایج شبیه‌سازی و مسیر بهینه تولید شده مجموعه ریات پایه متحرک در حضور دو مانع استوانه‌ای ثابت را نشان می‌دهد.



شکل (۵) نتایج شبیه‌سازی و مسیر بهینه در حضور دو مانع استوانه‌ای ثابت. (الف) نمای سه بعدی، (ب) نمای دو بعدی.

مانع ۱ :

استوانه‌ای به شعاع:  $r_1 = 0.45\text{ m}$

و مرکز:  $(x_1, y_1) = (1/2, 0/9)$

مانع ۲ :

استوانه‌ای به شعاع:  $r_2 = 0.6\text{ m}$

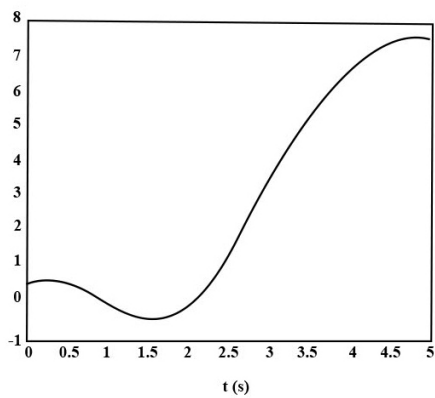
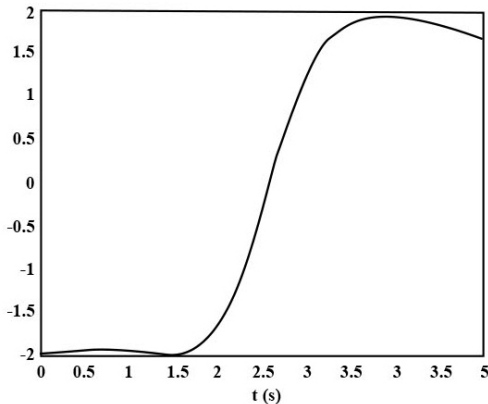
و مرکز:  $(x_2, y_2) = (-1, 1/5)$

برای شبیه‌سازی، زمان حرکت برابر با ۵ ثانیه است. باید توجه کرد که تغییر زمان حرکت ریات فقط در سریعتر یا کندتر انجام شدن وظیفه ریات مؤثر است و در روش حل تأثیری نمی‌گذارد. بهینه‌سازی به کمک الگوریتم ژنتیک، روشی مناسب و مطلوب برای طراحی مسیر بهینه برای عبور از بین موانع در رباتیک است. به خاطر اینکه در این موارد معادلات قیود نسبتاً زیاد و به شدت غیر خطی‌اند، روش‌های سنتی و تحلیلی عددی قادر به یافتن مسیر مناسب و قابل قبول نیستند، اما الگوریتم ژنتیک غالباً در صورت اجرای درست و انتخاب مناسب پارامترها به جواب بهینه مطلق دست می‌یابد.

بنابراین از ابزارهای بهینه‌سازی نرم‌افزار Matlab به روش الگوریتم ژنتیک استفاده می‌شود. لازم به ذکر است که برای بهینه‌سازی به روش‌های معمول، نقطه شروع حل باید به عنوان ورودی به الگوریتم معرفی گردد. در روش الگوریتم ژنتیک، دادن نقطه شروع الزامی نیست، ولی یک حدس اولیه خوب به همگرا شدن الگوریتم کمک می‌کند [۸].

در این مورد بدلیل افزایش تعداد موانع موجود در مسیر، انتخاب چندجمله‌ای با درجه بالاتر برای توابع  $f$  و  $g$  مطلوب بوده و امکان بررسی مسیرهای بیشتر و انتخاب جواب مناسب تر را ممکن می‌سازد. همچنین در مواردی که چیدمان موانع نسبتاً پیچیده باشد ممکن است چندجمله‌ای با درجه پایین برای توابع  $f$  و  $g$  جواب قابل قبولی ارائه ندهد، که با افزایش درجه توابع مذکور به ویژه تابع  $(w)$  و اضافه کردن ضرایب چندجمله‌ای می‌توان این مشکل را حل نمود. پس به منظور بالا بردن احتمال یافتن مسیر ممکن، تابع  $(w)$  را یک چند جمله‌ای درجه ۵ انتخاب می‌شود. با بالا رفتن درجه چند جمله‌ای  $g$  تعداد پارامترهای بهینه‌سازی نیز افزایش می‌یابد.

$$g(w) = b_5 w^5 + b_4 w^4 + b_3 w^3 + b_2 w^2 + b_1 w + b_0 \quad (75)$$

2<sup>nd</sup> Link Torque (N.m) Vs. Time (s)3<sup>rd</sup> Link Torque (N.m) Vs. Time (s)

شکل (۶) تاریخچه تغییرات گشتاور مجموعه ربات پایه متحرک (چرخها و مقاصل) بر حسب زمان

## ۶- مثال (۲) طراحی مسیر پهینه در حضور مانع متحرک

روش ارائه شده در این تحقیق قابل تعمیم به موانع متحرک نیز است. بدین منظور فرض می کنیم مختصات مرکز مانع به صورت تابعی از زمان به صورت زیر باشد:

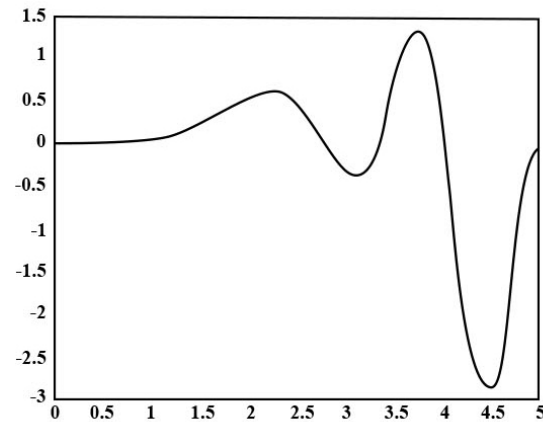
$$x_1 = -0.4t + 2, \quad y_1 = 0.128t^3 - 0.64t + 1/8 \quad (77)$$

در شبیه سازی، زمان حرکت برابر ۵ ثانیه در نظر گرفته شده است. در این بازه زمانی و معادلات زمانی داده شده در رابطه فوق مانع استوانه ای مسیری سهموی را طی می کند. با در نظر گرفتن این مسیر برای مانع متحرک، نقاط ابتدا و انتهای عبارت اند از:

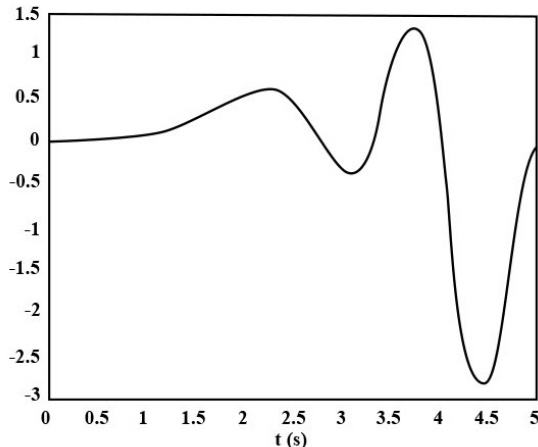
$$(x_1, y_1)^{in} = (2, 1/8), \quad (x_1, y_1)^{fin} = (0, 1/8) \quad (78)$$

مسیر سهموی طی شده توسط مانع استوانه ای متحرک در فضای سه بعدی و همچنین نما از بالای مسیر مانع متحرک در شکل (۷) نشان داده شده است.

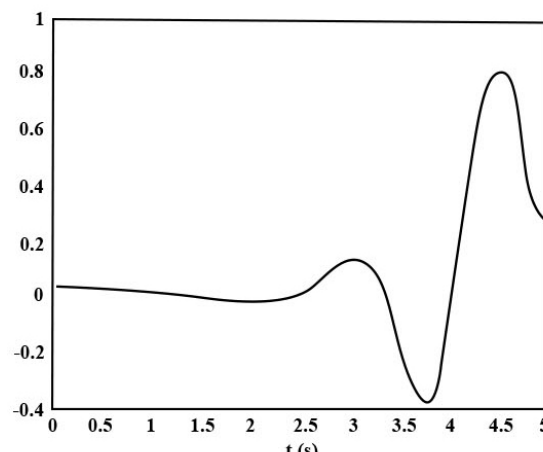
تاریخچه تغییرات گشتاور مجموعه ربات پایه متحرک شبیه سازی شده شامل گشتاور چرخ های چپ و راست و مقاصل اول، دوم و سوم در نمودارهای شکل (۶) ارائه شده است.

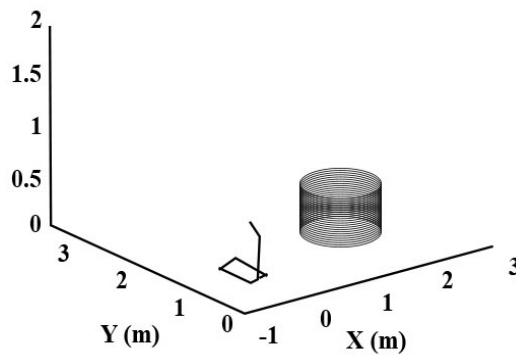


Left Wheel Torque (N.m) Vs. Time (s)

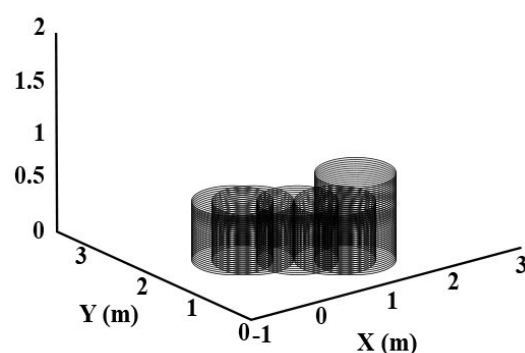


Right Wheel Torque (N.m) Vs. Time (s)

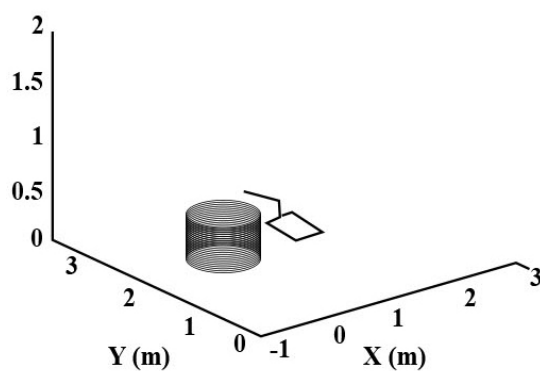
1<sup>st</sup> Link Torque (N.m) Vs. Time (s)



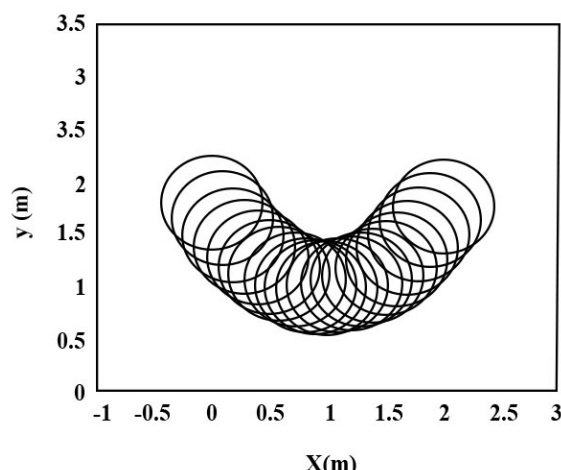
شکل (۸) موقعیت اولیه ربات و مانع.



(الف)



شکل (۹) موقعیت نهایی ربات و مانع.



(ب)

شکل (۷) مسیر طی شده توسط مانع استوانه‌ای متوجه

(الف) نمای سه بعدی، (ب) نمای دو بعدی (از بالا).

پس از اجرای مسئله بهینه‌سازی و استخراج مقادیر بهینه پارامترها، مسیر بهینه ربات متوجه از بین تمامی مسیرهای ممکن به دست می‌آید. از آنجا که در این مورد علاوه بر ربات، مانع نیز متوجه می‌باشد، نمایش همزمان ربات و مانع متوجه فقط با تصاویر متوجه امکان‌پذیر است. برای نمایش مسیر طی شده توسط ربات در زمان داده شده، چند نما از ترکیب ربات در طول زمان حرکت از موقعیت ابتدایی تا موقعیت نهایی برای نمایش عدم برخورد و چگونگی عبور از کنار مانع متوجه در پیوست (۳) نمایش داده شده است. همچنین شکل (۱۰) نتایج شبیه سازی و مسیر بهینه تولید شده مجموعه ربات پایه متوجه را نشان می‌دهد.

از آنجایی که نمایش همزمان مسیر طی شده توسط ربات و مانع متوجه در یک شکل امکان‌پذیر نمی‌باشد و شکل گویایی ارائه نمی‌دهد در پیوست (۳) حرکت ربات و مانع از ابتدا تا انتهای مسیر در فاصله‌های زمانی ۵/۰ ثانیه بطور مجزا ارائه شده است.

پارامترهای هندسی و دینامیکی سیستم ربات پایه متوجه را مانند قبل و موقعیت اولیه و نهایی ربات را به صورت زیر در نظر می‌گیریم:

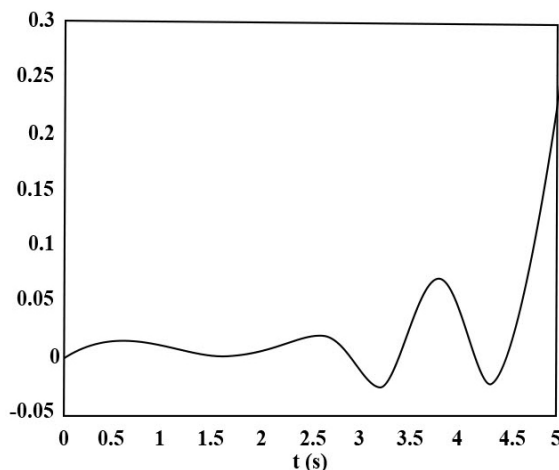
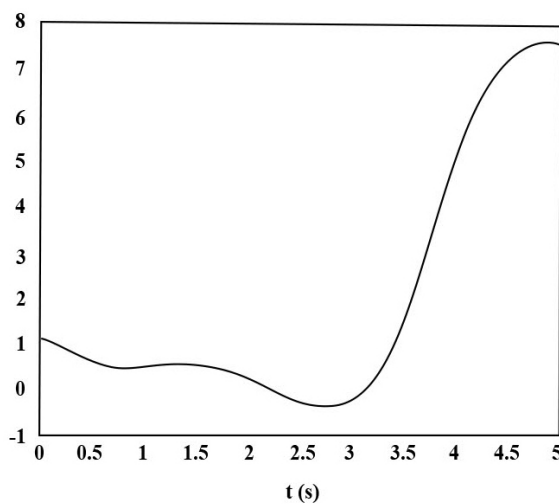
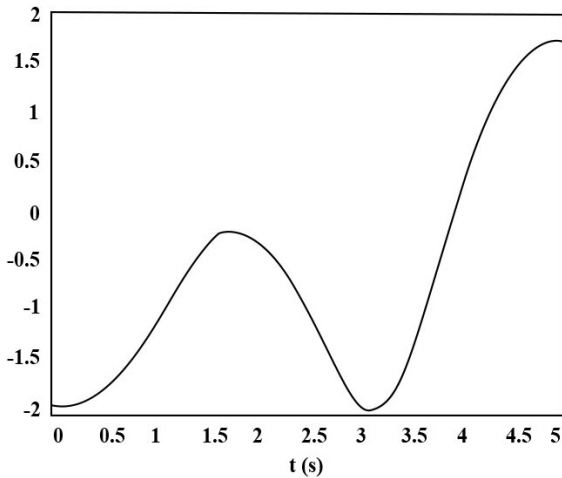
موقعیت اولیه ربات :

$$(x_F^{in}, y_F^{in}, \varphi^{in}, \theta_1^{in}, \theta_2^{in}, \theta_3^{in}) \\ = (0, 0, 0, 0, 0, 0)$$

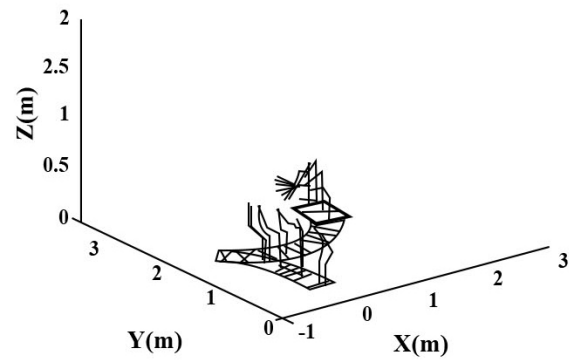
موقعیت نهایی ربات :

$$(x_F^{fin}, y_F^{fin}, \varphi^{fin}, \theta_1^{fin}, \theta_2^{fin}, \theta_3^{fin}) \\ = (1/5, 2/5, -90^\circ, 60^\circ, 120^\circ)$$

موقعیت اولیه ربات و مانع در شکل (۸) و موقعیت نهایی آنها در شکل (۹) نشان داده شده است.

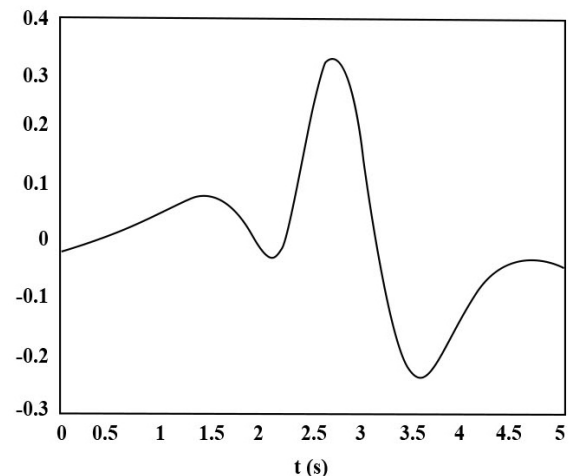
c)  $1^{st}$  Link Torque (N.m) Vs. Time (s)d)  $2^{nd}$  Link Torque (N.m) Vs. Time (s)e)  $3^{rd}$  Link Torque (N.m) Vs. Time (s)

شکل (۱۱) تاریخچه تغییرات گشتاور مجموعه ربات پایه متحرک (چرخ‌ها و مفاصل) بر حسب زمان.

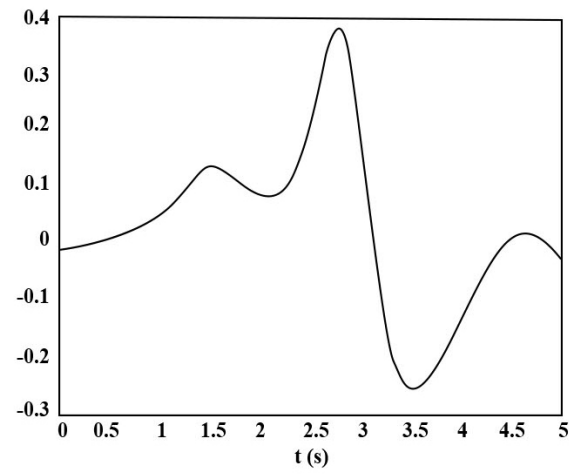


شکل (۱۰) مسیر بهینه مجموعه ربات پایه متحرک در حضور یک مانع استوانه‌ای متحرک.

تاریخچه تغییرات گشتاور مجموعه ربات پایه متحرک شبیه سازی شده شامل گشتاور چرخ‌های چپ و راست و مفاصل اول، دوم و سوم در نمودارهای شکل (۱۱) ارائه شده است.



a) Left Wheel Torque (N.m) Vs. Time (s)



b) Right Wheel Torque (N.m) Vs. Time (s)

چندجمله‌ای‌ها مناسب و متناسب با تعداد موانع بوده و کاملاً آگاهانه انتخاب شود.

مزیت دیگر این روش آن است که با اضافه شدن هر مانع به مسیر، تعداد قیود مسئله به طور خطی افزایش می‌یابد و روش کلی طراحی مسیر تغییر نمی‌کند. همچنین به منظور شیوه سازی هر مانع، تنها نیازمند به هندسه و موقعیت مانع نیاز است.

## مراجع

- [1] Garlicky M., Optimal Planning of Collision Free Trajectory of Redundant Manipulators, *Engineering Application of AI* 12, 1992, pp. 549-559.
- [2] Papadopoulos E., Poulakakis I., *Planning and Model-Based Control for Mobile Manipulators*, Proceedings of the International Conference on Intelligent Robots and Systems (IROS), Kagawa University, Takamatsu, Japan, October 2000.
- [3] Lavoie M.H., Boudreau R., *Obstacle Avoidance for Redundant Manipulators Using a Genetic Algorithm*, CCTOMM Symposium, 2001.
- [4] Papadopoulos E., Poulakakis I., *Planning and Obstacle Avoidance for Mobile Robots*, Proceedings IEEE International Conference on Robotics and Automation, ICRA 2001, Seoul, Korea, 2001.
- [5] Hu Y.M, Guo B.H., *Modeling and Motion Planning of a Three link Wheeled Mobile Manipulator*, 8th International Conference on Control, Automation, Robotics, China, December 2004.
- [6] Haddad M., Chettibi T., Hanchi S., Lehtihet H. E., *Optimal Motion Planner of Mobile Manipulators in Generalized Point-to-Point Task*, IEEE 2006.
- [7] Guo Y., Long Y., Sheng W., *Global Trajectory for Nonholonomic Robots in Dynamic Environment*, IEEE International Conference on Robotics and Automation, Roma, Italy, April 2007.
- [8]. شریعتی‌نیا، م.، طراحی مسیر بهینه یک بازوی بازوی مکانیکی ماهر با پایه متحرک به منظور عدم برخورد با موانع، پایان نامه کارشناسی ارشد مهندسی مکانیک طراحی کاربردی، دانشگاه صنعتی اصفهان، ۱۳۸۹.

## ۷- نتیجه گیری

در این تحقیق، یک روش طراحی مسیر بهینه برای بازوی پایه متحرک همراه با قید غیر هلونومیک پایه در حضور موانع ارائه شد. روش ارائه شده، به دست آوردن توابعی برای حرکت پایه و هر کدام از عضوها بر حسب زمان منجر می‌شود. مسیر به دست آمده و تاریخچه حرکت پایه و بازو نیز به دلیل استفاده از توابع چند جمله‌ای، پیوسته و یکنواخت است.

از آنجا که دینامیک یک سیستم رباتیکی اهمیت زیادی دارد، علاوه بر اندیس سینماتیکی، اندیس دینامیکی نیز برای بهینه سازی منظور شده است. در این مسئله طول مسیر طی شده توسط پایه و بازو در اولویت اول قرار دارد و کاهش آن تاثیر مستقیم بر روی کاهش انرژی مصرفی دارد و ضریب وزنی بیشتری برای آن در نظر گرفته شد.

طراحی مسیر بهینه یک سیستم بازوی پایه متحرک همراه با قید غیرهلونومیک، با در نظر گرفتن دینامیک سیستم و موانع موجود در مسیر، یک مسئله بهینه سازی غیرخطی محدود است که فضای جواب‌های به دست آمده ناپیوسته بوده و شامل مینیمم‌های محلی نیز است. از آنجا که روش‌های بهینه سازی کلاسیک قادر به حل این گونه مسائل نیستند، در این تحقیق از روش‌های بهینه سازی محاسبات تکاملی شامل روش الگوریتم رئتیک استفاده شد و مشاهده شد که الگوریتم رئتیک غالباً در صورت اجرای درست و انتخاب مناسب پارامترها به جواب بهینه مطلق دست می‌یابد.

تاریخچه مقدار گشتاور پایه و بازو بر حسب زمان به روش ارائه شده رسم و ملاحظه گردید که این روش به جواب‌های مطلوب، معقول، هموار و بهینه منجر می‌شود. با توجه به روش ارائه شده می‌توان چنین نتیجه گرفت که با داشتن فضای کاری نامحدود، در حالتی که تنها یک مانع در مسیر حرکت وجود دارد، روش ارائه شده حتماً به مسیر بهینه منجر می‌شود. همچنین می‌توان راههایی برای افزایش احتمال به دست آوردن مسیر بهینه در صورت افزایش تعداد موانع پیشنهاد داد. یک راه ساده افزایش درجه چندجمله‌ای‌های  $f(t)$  و  $w(t)$  است. البته باید توجه کرد با افزایش تعداد درجات چندجمله‌ای‌ها، تعداد متغیرهای مسئله افزایش یافته و احتمال همگرایی به نقطه بهینه مطلق کاهش می‌یابد، بنابراین استفاده از چندجمله‌ای‌ها با مرتبه بسیار بالا نیز توصیه نمی‌شود. پس باستی درجه این

## ۹- پیوست‌ها

پیوست (۱) ماتریس ژاکوبین ( $J$ ) :

$$J = \begin{bmatrix} J_{11} & J_{12} & J_{13} & J_{14} & J_{15} \\ J_{21} & J_{22} & J_{23} & J_{24} & J_{25} \\ \circ & \circ & \circ & J_{34} & J_{35} \\ \frac{R}{\gamma} \cos \varphi & \frac{R}{\gamma} \cos \varphi & \circ & \circ & \circ \\ \frac{R}{\gamma} \sin \varphi & \frac{R}{\gamma} \sin \varphi & \circ & \circ & \circ \end{bmatrix}$$

که در آن:

$$J_{11} = \frac{R}{\gamma} \cos \varphi - [b \sin \varphi + l_\gamma \cos \theta_\gamma \sin(\varphi + \theta_1) + l_\gamma \cos(\theta_\gamma + \theta_\varphi) \sin(\varphi + \theta_1)] \frac{R}{\gamma D}$$

$$J_{12} = \frac{R}{\gamma} \cos \varphi - [b \sin \varphi + l_\gamma \cos \theta_\gamma \sin(\varphi + \theta_1) + l_\gamma \cos(\theta_\gamma + \theta_\varphi) \sin(\varphi + \theta_1)] \frac{R}{\gamma D}$$

$$J_{13} = -[l_\gamma \cos \theta_\gamma \sin(\varphi + \theta_1) + l_\gamma \cos(\theta_\gamma + \theta_\varphi) \sin(\varphi + \theta_1)]$$

$$J_{14} = -[l_\gamma \sin \theta_\gamma \cos(\varphi + \theta_1) + l_\gamma \sin(\theta_\gamma + \theta_\varphi) \cos(\varphi + \theta_1)]$$

$$J_{15} = -[l_\gamma \sin(\theta_\gamma + \theta_\varphi) \cos(\varphi + \theta_1)]$$

$$J_{21} = \frac{R}{\gamma} \sin \varphi + [b \cos \varphi + l_\gamma \cos \theta_\gamma \cos(\varphi + \theta_1) + l_\gamma \cos(\theta_\gamma + \theta_\varphi) \cos(\varphi + \theta_1)] \frac{R}{\gamma D}$$

$$J_{22} = \frac{R}{\gamma} \sin \varphi - [b \cos \varphi + l_\gamma \cos \theta_\gamma \cos(\varphi + \theta_1) + l_\gamma \cos(\theta_\gamma + \theta_\varphi) \cos(\varphi + \theta_1)] \frac{R}{\gamma D}$$

$$J_{23} = l_\gamma \cos \theta_\gamma \cos(\varphi + \theta_1) + l_\gamma \cos(\theta_\gamma + \theta_\varphi) \cos(\varphi + \theta_1)$$

$$J_{24} = -[l_\gamma \sin \theta_\gamma \sin(\varphi + \theta_1) + l_\gamma \sin(\theta_\gamma + \theta_\varphi) \sin(\varphi + \theta_1)]$$

$$J_{25} = -[l_\gamma \sin(\theta_\gamma + \theta_\varphi) \sin(\varphi + \theta_1)]$$

$$J_{34} = -[l_\gamma \sin(\theta_\gamma + \theta_\varphi) \sin(\varphi + \theta_1)]$$

$$J_{35} = l_\gamma \cos(\theta_\gamma + \theta_\varphi)$$

پیوست (۲) ماتریس جرم ( $M(q)$ ) :

$$M(q) = \begin{bmatrix} m_o + m_1 & \circ & M_{x\phi} & M_{x\theta_1} & M_{x\theta_\gamma} & M_{x\theta_\varphi} \\ \circ & m_o + m_1 & M_{y\phi} & M_{y\theta_1} & M_{y\theta_\gamma} & M_{y\theta_\varphi} \\ M_{\phi x} & M_{\phi y} & M_{\phi\phi} & M_{\phi\theta_1} & M_{\phi\theta_\gamma} & M_{\phi\theta_\varphi} \\ M_{\theta_1 x} & M_{\theta_1 y} & M_{\theta_1\phi} & M_{\theta_1\theta_1} & \circ & \circ \\ M_{\theta_\gamma x} & M_{\theta_\gamma y} & M_{\theta_\gamma\phi} & \circ & M_{\theta_\gamma\theta_\gamma} & M_{\theta_\gamma\theta_\varphi} \\ M_{\theta_\varphi x} & M_{\theta_\varphi y} & M_{\theta_\varphi\phi} & \circ & M_{\theta_\varphi\theta_\gamma} & M_{\theta_\varphi\theta_\varphi} \end{bmatrix}$$

که در آن:

$$M_{x\phi} = M_{\phi x} = -[(m_1 + m_\gamma + m_\varphi) d \sin \phi + (m_\gamma r_\gamma + m_\varphi l_\gamma) \cos \theta_\gamma \sin(\phi + \theta_1) + m_\varphi r_\varphi \cos(\theta_\gamma + \theta_\varphi) \sin(\phi + \theta_1)]$$

$$M_{x\theta_1} = M_{\theta_1 x} = -[m_\gamma r_\gamma + m_\varphi l_\gamma] \cos \theta_\gamma \sin(\phi + \theta_1) + m_\varphi r_\varphi \cos(\theta_\gamma + \theta_\varphi) \sin(\phi + \theta_1)$$

$$M_{x\theta_\gamma} = M_{\theta_\gamma x} = -[m_\gamma r_\gamma + m_\varphi l_\gamma] \sin \theta_\gamma \cos(\phi + \theta_1) + m_\varphi r_\varphi \sin(\theta_\gamma + \theta_\varphi) \cos(\phi + \theta_1)$$

$$M_{x\theta_\varphi} = M_{\theta_\varphi x} = m_\varphi r_\varphi \sin(\theta_\gamma + \theta_\varphi) \cos(\phi + \theta_1)$$

$$M_{y\phi} = M_{\phi y} = (m_1 + m_\gamma + m_\varphi) d \cos \phi + (m_\gamma r_\gamma + m_\varphi l_\gamma) \cos \theta_\gamma \cos(\phi + \theta_1) + m_\varphi r_\varphi \cos(\theta_\gamma + \theta_\varphi) \cos(\phi + \theta_1)$$

$$M_{y\theta_1} = M_{\theta_1 y} = (m_\gamma r_\gamma + m_\varphi l_\gamma) \cos \theta_\gamma \cos(\phi + \theta_1) + m_\varphi r_\varphi \cos(\theta_\gamma + \theta_\varphi) \cos(\phi + \theta_1)$$

$$\begin{aligned}
M_{y\theta_y} &= M_{\theta_y y} = -[m_y r_y + m_\gamma l_y] \sin \theta_y \sin(\phi + \theta_1) + m_\gamma r_\gamma \sin(\theta_y + \theta_\gamma) \sin(\phi + \theta_1) \\
M_{y\theta_\gamma} &= M_{\theta_\gamma y} = -m_\gamma r_\gamma \sin(\theta_y + \theta_\gamma) \sin(\phi + \theta_1) \\
M_{\phi\gamma} &= m_y r_y \cos^\gamma \theta_y + m_\gamma [l_y \cos \theta_y + r_\gamma \cos(\theta_y + \theta_\gamma)]^\gamma + [(m_y r_y + m_\gamma l_y) d \cos \theta_y + m_\gamma r_\gamma d \cos(\theta_y + \theta_\gamma)] \\
&\quad \times [\sin \phi \cos(\phi + \theta_1) + \cos \phi \sin(\phi + \theta_1)] \\
M_{\phi\phi} &= M_{\phi\gamma} - M_{\phi x} d \sin \phi + M_{\phi y} d \cos \phi + J_y + J_\gamma \\
M_{\phi\theta_1} &= M_{\theta_1\phi} = M_{\phi\gamma} + J_y + J_\gamma \\
M_{\phi\theta_y} &= M_{\theta_y\phi} = [(m_y r_y + m_\gamma l_y) d \sin \theta_y + m_\gamma r_\gamma d \sin(\theta_y + \theta_\gamma)] \times [\sin \phi \cos(\phi + \theta_1) - \cos \phi \sin(\phi + \theta_1)] \\
M_{\phi\theta_\gamma} &= M_{\theta_\gamma\phi} = m_\gamma r_\gamma d \sin(\theta_y + \theta_\gamma) [\sin \phi \cos(\phi + \theta_1) - \cos \phi \sin(\phi + \theta_1)] \\
M_{\theta_y\theta_y} &= m_y r_y \cos^\gamma \theta_y + m_\gamma [l_y \cos \theta_y + r_\gamma \cos(\theta_y + \theta_\gamma)]^\gamma + J_y + J_\gamma \\
M_{\theta_y\theta_\gamma} &= m_y r_y \sin^\gamma \theta_y + m_\gamma [l_y \sin \theta_y + r_\gamma \sin(\theta_y + \theta_\gamma)]^\gamma + J_y + J_\gamma \\
M_{\theta_\gamma\theta_y} &= M_{\theta_\gamma\theta_\gamma} = m_\gamma r_\gamma \sin(\theta_y + \theta_\gamma) + [l_y \sin \theta_y + r_\gamma \sin(\theta_y + \theta_\gamma)] + J_\gamma \\
M_{\theta_\gamma\theta_\gamma} &= m_\gamma r_\gamma \sin^\gamma(\theta_y + \theta_\gamma) + J_\gamma
\end{aligned}$$

بردار نیروهای توربولیس :  $V(q, \dot{q})$

$$V = [V_x \quad V_y \quad V_\phi \quad V_{\theta_1} \quad V_{\theta_y} \quad V_{\theta_\gamma}]^T$$

که در آن :

$$\begin{aligned}
X_{v_x} &= -r_y \dot{\theta}_y \cos \theta_y \cos(\phi + \theta_1) + r_y \dot{\theta}_y (\dot{\phi} + \dot{\theta}_1) \sin \theta_y \sin(\phi + \theta_1) - r_y (\dot{\phi} + \dot{\theta}_1)^\gamma \cos \theta_y \cos(\phi + \theta_1) \\
X_{v_y} &= -r_y \dot{\theta}_y \cos \theta_y \cos(\phi + \theta_1) - r_y \dot{\theta}_y (\dot{\phi} + \dot{\theta}_1) \sin \theta_y \cos(\phi + \theta_1) - r_y (\dot{\phi} + \dot{\theta}_1)^\gamma \cos \theta_y \sin(\phi + \theta_1) \\
X_{\gamma v_x} &= -l_y \dot{\theta}_y \cos \theta_y \cos(\phi + \theta_1) + l_y \dot{\theta}_y (\dot{\phi} + \dot{\theta}_1) \sin \theta_y \sin(\phi + \theta_1) - l_y (\dot{\phi} + \dot{\theta}_1)^\gamma \cos \theta_y \cos(\phi + \theta_1) \\
&\quad - r_\gamma (\dot{\theta}_y + \dot{\theta}_\gamma)^\gamma \cos(\theta_y + \theta_\gamma) \cos(\phi + \theta_1) + r_\gamma (\dot{\theta}_y + \dot{\theta}_\gamma) (\dot{\phi} + \dot{\theta}_1) \sin(\theta_y + \theta_\gamma) \sin(\phi + \theta_1) \\
&\quad - r_\gamma (\dot{\phi} + \dot{\theta}_1)^\gamma \cos(\theta_y + \theta_\gamma) \cos(\phi + \theta_1) \\
X_{\gamma v_y} &= -l_y \dot{\theta}_y \cos \theta_y \sin(\phi + \theta_1) - l_y \dot{\theta}_y (\dot{\phi} + \dot{\theta}_1) \sin \theta_y \cos(\phi + \theta_1) - l_y (\dot{\phi} + \dot{\theta}_1)^\gamma \cos \theta_y \sin(\phi + \theta_1) \\
&\quad - r_\gamma (\dot{\theta}_y + \dot{\theta}_\gamma)^\gamma \cos(\theta_y + \theta_\gamma) \sin(\phi + \theta_1) - r_\gamma (\dot{\theta}_y + \dot{\theta}_\gamma) (\dot{\phi} + \dot{\theta}_1) \sin(\theta_y + \theta_\gamma) \cos(\phi + \theta_1) \\
&\quad - r_\gamma (\dot{\phi} + \dot{\theta}_1)^\gamma \cos(\theta_y + \theta_\gamma) \sin(\phi + \theta_1)
\end{aligned}$$

$$V_x = m_y X_{v_x} + m_\gamma X_{\gamma v_x} - (m_1 + m_y + m_\gamma) d \dot{\phi}^\gamma \cos \phi$$

$$V_y = m_y X_{v_y} + m_\gamma X_{\gamma v_y} - (m_1 + m_y + m_\gamma) d \dot{\phi}^\gamma \sin \phi$$

$$\begin{aligned}
V_\phi &= -m_y [d \sin \phi + r_y \cos \theta_y \sin(\phi + \theta_1)] X_{v_x} + m_y [d \cos \phi + r_y \cos \theta_y \cos(\phi + \theta_1)] X_{v_y} \\
&\quad - m_\gamma [d \sin \phi + l_y \cos \theta_y \sin(\phi + \theta_1) + r_\gamma \cos(\theta_y + \theta_\gamma) \sin(\phi + \theta_1)] X_{\gamma v_x} \\
&\quad + m_\gamma [d \cos \phi + l_y \cos \theta_y \cos(\phi + \theta_1) + r_\gamma \cos(\theta_y + \theta_\gamma) \cos(\phi + \theta_1)] X_{\gamma v_y} \\
&\quad - M_{\phi x} d \dot{\phi}^\gamma \cos \phi - M_{\phi y} d \dot{\phi}^\gamma \sin \phi
\end{aligned}$$

$$\begin{aligned}
V_{\theta_1} &= -m_y [r_y \cos \theta_y \sin(\phi + \theta_1)] X_{v_x} + m_y [r_y \cos \theta_y \cos(\phi + \theta_1)] X_{v_y} \\
&\quad - m_\gamma [l_y \cos \theta_y \sin(\phi + \theta_1) + r_\gamma \cos(\theta_y + \theta_\gamma) \sin(\phi + \theta_1)] X_{\gamma v_x} \\
&\quad + m_\gamma [l_y \cos \theta_y \cos(\phi + \theta_1) + r_\gamma \cos(\theta_y + \theta_\gamma) \cos(\phi + \theta_1)] X_{\gamma v_y}
\end{aligned}$$

$$\begin{aligned}
V_{\theta_y} &= -m_y [r_y \sin \theta_y \cos(\phi + \theta_1)] X_{v_x} - m_y [r_y \sin \theta_y \sin(\phi + \theta_1)] X_{v_y} \\
&\quad - m_\gamma [l_y \sin \theta_y \cos(\phi + \theta_1) + r_\gamma \sin(\theta_y + \theta_\gamma) \cos(\phi + \theta_1)] X_{\gamma v_x} \\
&\quad - m_\gamma [l_y \sin \theta_y \sin(\phi + \theta_1) + r_\gamma \sin(\theta_y + \theta_\gamma) \sin(\phi + \theta_1)] X_{\gamma v_y} \\
&\quad - M_{\theta_y x} d \dot{\phi}^\gamma \cos \phi - M_{\theta_y y} d \dot{\phi}^\gamma \sin \phi
\end{aligned}$$

$$V_{\theta_r} = m_r [r_r \sin(\theta_r + \theta_r) \cos(\phi + \theta_1)] X_{rv} - m_r [r_r \sin(\theta_r + \theta_r) \sin(\phi + \theta_1)] Y_{rv}$$

$$- M_{\theta_r x} d\dot{\phi} \cos \phi - M_{\theta_r y} d\dot{\phi} \sin \phi$$

بردار نیروهای گرانش  $G(q)$ :

$$G(q) = \begin{bmatrix} \circ & \circ & \circ & \circ & \frac{\partial U}{\partial \theta_r} & \frac{\partial U}{\partial \theta_r} \end{bmatrix}^T$$

که در آن:

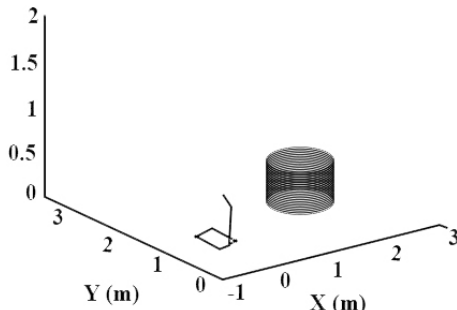
$$\frac{\partial U}{\partial \theta_r} = m_r g r_r \cos \theta_r + m_r g [l_r \cos \theta_r + r_r \cos(\theta_r + \theta_r)]$$

$$\frac{\partial U}{\partial \theta_r} = m_r g r_r \cos(\theta_r + \theta_r)$$

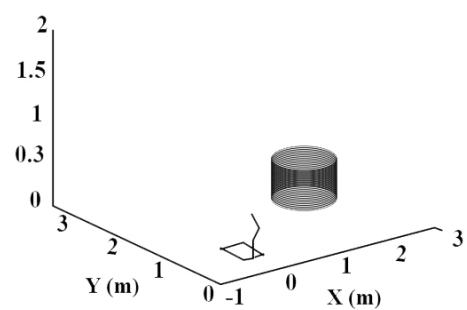
ماتریس  $B(q)$ :

$$B(q) = \begin{bmatrix} \frac{1}{R} \cos \varphi & \frac{1}{R} \cos \varphi & \circ & \circ & \circ \\ \frac{1}{R} \sin \varphi & \frac{1}{R} \sin \varphi & \circ & \circ & \circ \\ \frac{D}{R} & -\frac{R}{D} & \circ & \circ & \circ \\ \circ & \circ & 1 & \circ & \circ \\ \circ & \circ & \circ & 1 & \circ \\ \circ & \circ & \circ & \circ & 1 \end{bmatrix}$$

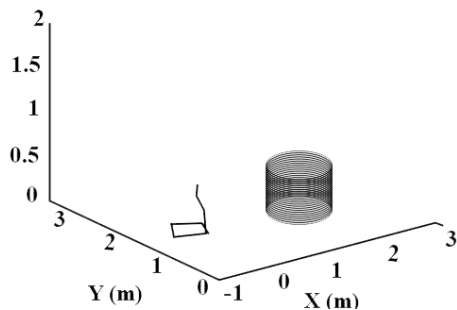
پیوست (۳) موقعیت همزمان ربات و مانع متحرک در فاصله‌های زمانی  $0.5$  ثانیه از ابتدا تا انتهای مسیر:



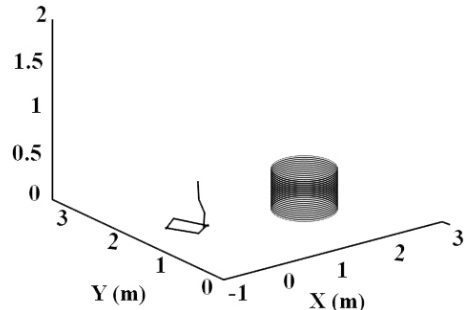
$t = 0.5 s$  (ب)



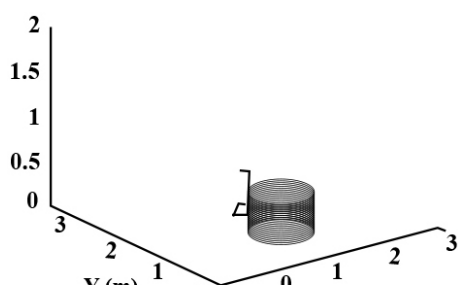
(الف)  $t = 0 s$



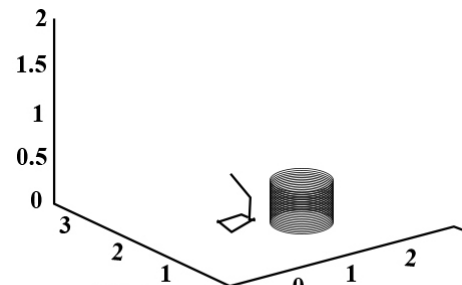
$t = 1 s$  (د)



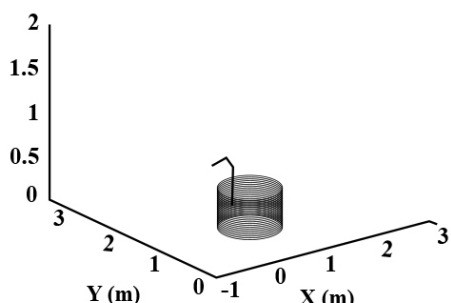
(ج)  $t = 1.5 s$



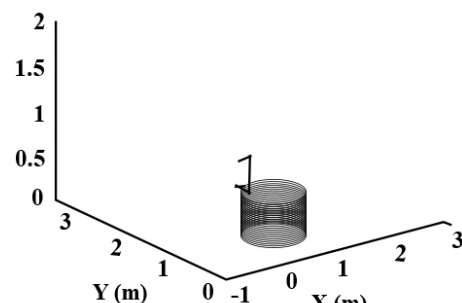
$$t = \Psi/\Delta s (\omega)$$



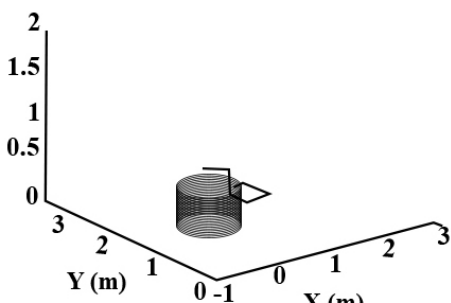
$$t = \Psi s (\alpha)$$



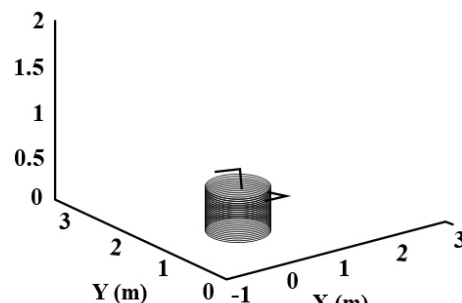
$$t = \Psi/\Delta s (\zeta)$$



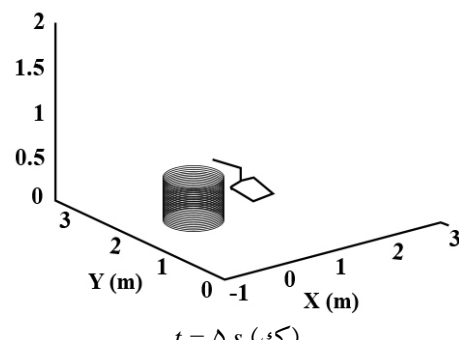
$$t = \Psi s (\beta)$$



$$t = \Psi/\Delta s (\varsigma)$$



$$t = \Psi s (\delta)$$



$$t = \Delta s (\kappa)$$